

• 化学成分 •

侧柏叶中的 1 个新苯丙素苷

吴利萍, 俞雅芮, 刘梦影, 江虹雨, 钟思雨, 李玲蕊, 陆世惠, 安梦琪, 黄 静*

四川大学华西药学院, 四川 成都 610041

摘要: 目的 研究侧柏 *Platycladus orientalis* 叶的化学成分及抗氧化和 α -葡萄糖苷酶抑制活性。方法 采用硅胶、MCI、聚酰胺及制备液相色谱分离纯化并用波谱技术进行结构鉴定。采用 DPPH 和 ABTS 法进行抗氧化活性研究, pNPG 法进行 α -葡萄糖苷酶抑制活性研究。结果 从侧柏叶 80% 乙醇提取物中分离得到了 11 个化合物, 分别鉴定为 4-O-(1',3'-二羟基丙基-2')-二氢松柏醇 9-O- β -D-葡萄糖苷 (**1**)、杨梅苷 (**2**)、5,8,3',4'-四羟基黄酮 7-O- β -D-木糖苷 (**3**)、isomassonianoside B (**4**)、(-)-异落叶松脂素 9'-O- β -D-葡萄糖苷 (**5**)、(7R,8S,7'S,8'R)-4,9,4',7'-tetrahydroxy-3,3'-dimethoxy-7,9'-epoxylignan 4-O- β -D-glucopyranoside (**6**)、柳杉酚 (**7**)、桃柁酚 (**8**)、5,6-dehydrosugiol methyl ether (**9**)、isopimara-8,15-dien-7-one (**10**) 和 α -L-鼠李糖乙醇苷 (**11**)。结论 化合物 **1** 为新化合物, 命名为侧柏苷 A; 已知化合物中, 7 个化合物 (**4~7**, **9~11**) 为首次从侧柏植物得到, 6 个 (**4~6**, **9~11**) 为首次从侧柏亚科植物中得到, 4 个 (**5**, **6**, **10**, **11**) 为首次从柏科植物中得到。化合物 **2~6** 显示出了一定的抗氧化活性; **2** 和 **3** 显示了一定的 α -葡萄糖苷酶抑制活性。

关键词: 侧柏; 苯丙素苷; 侧柏苷 A; 杨梅苷; (-)-异落叶松脂素 9'-O- β -D-葡萄糖苷; α -L-鼠李糖乙醇苷; α -葡萄糖苷酶抑制活性

中图分类号: R284.1 文献标志码: A 文章编号: 0253-2670(2020)03-0563-08

DOI: 10.7501/j.issn.0253-2670.2020.03.002

A new phenylpropanoid glycoside from leaves of *Platycladus orientalis*

WU Li-ping, YU Ya-rui, LIU Meng-ying, JIANG Hong-yu, ZHONG Si-yu, LI Ling-rui, LU Shi-hui, AN Meng-qi, HUANG Jing

West China School of Pharmacy, Sichuan University, Chengdu 610041, China

Abstract: Objective To study the chemical constituents from the leaves of *Platycladus orientalis*, as well as their antioxidant and α -glucosidase inhibitory activities. **Methods** The compounds were isolated and purified by silica gel, MCI, polyamide, and prep-HPLC chromatography, their structures were elucidated by spectral analysis. DPPH and ABTS methods were used to study the antioxidant activity, and pNPG method was used to study the α -glucosidase inhibitory activity. **Results** Eleven compounds (**1**—**11**) were isolated from the 80% ethanol extract of the leaves of *P. orientalis*, and identified as 4-O-(1',3'-dihydroxypropan-2'-yl)-dihydroconiferyl alcohol 9-O- β -D-glucopyranoside (**1**), myricetin (**2**), 5,8,3',4'-tetrahydroxy-flavone-7-O- β -D-xylopyranoside (**3**), isomassonianoside B (**4**), (-)-isopramine 9'-O- β -D-glucopyranoside (**5**), (7R,8S,7'S,8'R)-4,9,4',7'-tetrahydroxy-3,3'-dimethoxy-7,9'-epoxylignan 4-O- β -D-glucopyranoside (**6**), sugiol (**7**), totarol (**8**), 5,6-dehydrosugiol methyl ether (**9**), isopimara-8,15-dien-7-one (**10**) and ethanol α -L-rhamnopyranoside (**11**). **Conclusion** Compound **1** is a new compound, named as platycloside A; In the known compounds, seven compounds (**4~7**, **9~11**) are isolated from this plant for the first time, six compounds (**4~6**, **9~11**) are isolated from the family Thujoideae for the first time, and four compounds (**5**, **6**, **10**, **11**) are isolated from the family Cupresaceae for the first time. The compounds **2~6** showed a degree of antioxidant activities. The compounds **2** and **3** showed the α -glucosidase inhibitory activities.

Key words: *Platycladus orientalis* (Linn.) Franco; phenylpropanoid glycoside; platycloside A; myricetin; (-)-isopramine 9'-O- β -D- glucopyranoside; ethanol α -L-rhamnopyranoside; α -glucosidase inhibitory activities

收稿日期: 2019-11-20

作者简介: 吴利萍 (1995—), 女, 硕士研究生, 从事天然药物化学方面研究。E-mail: 1741518396@qq.com

*通信作者 黄 静 (1961—), 男, 博士, 教授, 从事天然药物化学方面研究。E-mail: huangj_pharm@scu.edu.cn

侧柏 *Platycladus orientalis* (Linn.) Franco 为柏科 (Cupressaceae) 侧柏亚科 (Thujoideae) 侧柏属 *Platycladus* Spach 植物, 是一种常见的常绿植物, 资源丰富, 全国各地区均有分布。侧柏除作为园林观赏植物外, 其叶、果实以及种子均可入药^[1]。侧柏叶是侧柏的干燥嫩枝叶, 气清香, 味苦涩、微辛, 具有凉血止血、祛风降湿、化痰止咳、消肿散毒的功效^[2]。在临幊上常被用于治疗出血症、风湿痹痛、高血压、咳喘烫伤等症^[3]。现代药理研究表明, 侧柏叶具有止血、镇咳祛痰、抗炎、抗菌、抗病毒、抗肿瘤、神经保护、抗红细胞氧化、降血压和抑制动脉平滑肌增殖等作用^[4]。虽然到目前为止, 已发现侧柏叶中含有黄酮、萜类、树脂、鞣质等类型的化学成分, 且发现黄酮类和萜类成分的数量较多^[4]。但侧柏叶的药效物质基础仍不明确。为了进一步发现侧柏叶的活性物质, 本课题组在前期研究的基础上^[5], 继续对侧柏叶的化学成分和药理活性进行了研究。采用硅胶、MCI、聚酰胺及制备 HPLC 等多种色谱技术从侧柏叶的 80% 乙醇提取物中分离得到 11 个化合物, 其中 1 为新化合物, 被鉴定为 4-O-(1',3'-二羟基丙基-2')-二氢松柏醇 9-O-β-D-葡萄糖苷 [4-O-(1',3'-dihydroxypropan-2'-yl)-dihydroconiferyl alcohol 9-O-β-D-glucopyranoside], 并命名为侧柏苷 A (platycloside A)。**2~11** 为已知化合物, 分别鉴定为杨梅苷 (myricetin, **2**)、5,8,3',4'-四羟基黄酮 7-O-β-D-木糖苷 (5,8,3',4'-tetrahydroxy-flavone 7-O-β-D-xylopyranoside, **3**)、isomassonianoside B (**4**)、(-)-异落叶松脂素 9'-O-β-D-葡萄糖苷 [(-)-isopramine 9'-O-β-D-glucopyranoside, **5**]、(7R,8S,7'S,8'R)-4,9,4',7'-tetrahydroxy-3,3'-dimethoxy-7,9'-epoxylignan 4-O-β-D-glucopyranoside (**6**)、柳杉酚 (sugiol, **7**)、桃樟酚 (totarol, **8**)、5,6-dehydrosugiol methyl ether (**9**)、isopimara-8,15-dien-7-one (**10**) 和 α-L-鼠李糖乙醇苷 (ethanol α-L-rhamnopyranoside, **11**)。在已知化合物中, 7 个化合物 (**4~7**、**9~11**) 为首次从侧柏植物中得到, 6 个 (**4~6**、**9~11**) 为首次从侧柏亚科植物中得到, 4 个 (**5**、**6**、**10**、**11**) 为首次从柏科植物中得到。化合物 **2~6** 显示出了一定的抗氧化活性; **2** 和 **3** 显示了一定的 α-葡萄糖苷酶抑制活性。

1 仪器与材料

Nicolet 6700 红外分光光度计 (Termo Electron Co., 美国); AmaZon SL 质谱仪 (Bruker Co., 美

国); Autopol VI 自动旋光计 (Rudolph Research Analytical, 美国); 岛津 UV-3600 紫外分光光度计 (岛津公司, 日本); Bruker AV-400 核磁共振仪 (Bruker Co. 美国); GL-3000 制备高效液相色谱仪 (格莱公司, 中国); Spark 10 M 多功能微孔板检测仪 (Tecan Co., 瑞士); 薄层色谱硅胶 GF₂₅₄、硅胶 G (100~200、200~300 目, 青岛海洋化工有限公司); MCI (75~150 μm, 日本 Mitsubishi 公司); 氮代溶剂和 TMS (上海浩素化学技术有限公司); 1,1-二苯基-2-三硝基苯肼 (DPPH, 上海麦克林生化科技有限公司, 批号 C10272195); 2,2'-联氮双(3-乙基苯并噻唑啉-6-磺酸)二铵盐 (ABTS, 上海阿拉丁生化科技股份有限公司, 批号 F1813046); 4-硝基苯基-α-D-葡萄糖苷 (pNPG, 上海阿拉丁生化科技股份有限公司, 批号 E1828029); α-葡萄糖苷酶 (上海源叶生物科技有限公司, 批号 L12J10Y92782); 阿卡波糖 (上海阿拉丁生化科技股份有限公司, 批号 F1804019); L-抗坏血酸 (成都市科隆化学试剂有限公司, 批号 2018081501); 其余试剂均为分析纯。

侧柏叶原料于 2018 年 5 月 21 日购自中国安徽省亳州市常富药业销售有限公司, 经四川大学华西药学院黄静教授鉴定为侧柏 *Platycladus orientalis* (Linn.) Franco 的叶。凭证标本 (PO20180521) 保存于四川大学华西药学院天然药物学系。

2 方法

2.1 提取与分离

侧柏叶粗粉 (5.5 kg), 用 80% 乙醇回流提取 3 次, 每次 2 h, 合并提取液, 滤过, 滤液减压浓缩后得到乙醇浸膏 (1.3 kg)。乙醇浸膏用乙醇复溶后, 缓慢加水至溶液中乙醇体积分数降低至 50%~60%, 并不断搅拌, 静置滤过 (除去叶绿素), 滤液减压浓缩后, 得到乙醇提取物 (1.15 kg)。乙醇提取物 (690 g), 经硅胶柱色谱分离, 二氯甲烷-甲醇-水 (10:1:0、7:1:0、4:1:0.1、2:1:0.1、1:1:0.1、0:1:0.1) 梯度洗脱, 分段收集并合并相同部分, 回收溶剂, 得到 4 个流分 (Fr. 1~4)。Fr. 1 (120 g) 经硅胶柱色谱分离 (石油醚-醋酸乙酯 1:0、30:1、20:1、10:1、5:1、1:1、0:1, 梯度洗脱), 分段收集并合并相同部分, 回收溶剂, 得到 5 个流分 (Fr. 1-1~1-5)。Fr. 1-1 (25 g) 经反复硅胶柱色谱得到 **9** (15 mg) 和 **10** (20 mg); Fr. 1-2 (20 g) 经反复硅胶柱色谱得到化合物 **7** (16 mg) 和 **8**

(23 mg)。Fr. 2 (150 g) 经硅胶柱色谱分离, 醋酸乙酯-甲醇-水 (10:1:0、5:1:0.1、3:1:0.1、1:1:0.1、0:1:0) 梯度洗脱, 分段收集并合并相同部分, 回收溶剂, 得到 5 个流分(Fr. 2-1~2-5)。Fr. 2-2 (20 g) 经反复硅胶柱色谱得到 2 (40 mg); Fr. 2-3 (40 g) 经硅胶柱色谱、MCI 柱色谱和制备反相高效液相色谱分离得到 1 (40 mg, $t_R=45\text{ min}$) 和 5 (60 mg, $t_R=55\text{ min}$); Fr. 2-4 (25 g) 经硅胶柱色谱、MCI 柱色谱和制备反相高效液相色谱分离得到 4 (34 mg, $t_R=35\text{ min}$)、6 (15 mg, $t_R=40\text{ min}$) 和 11 (30 mg, $t_R=42\text{ min}$)。Fr. 3 (210 g) 经硅胶柱色谱分离, 醋酸乙酯-甲醇-水 (10:1:0、5:1:0.1、3:1:0.1、1:1:0.1、0:1:0) 梯度洗脱, 分段收集并合并相同部分, 回收溶剂, 得到 5 个流分(Fr. 3-1~3-5), Fr. 3-2 (9.8 g) 经硅胶柱色谱分离, 醋酸乙酯-甲醇-水 (5:1:0.1、3:1:0.1、1:1:0.1、0:1:0) 梯度洗脱, 分段收集并合并相同部分, 得到 3 个流分(Fr. 3-2-1~3-2-3), 其中 Fr. 3-2-2 部分析出黄色粉末为化合物 3 (30 mg)。

2.2 抗氧化活性实验

本实验采用 DPPH 和 ABTS 自由基清除法对分离得到的化合物 1~8(供试品 1~8)进行抗氧化活性实验。

2.2.1 DPPH 自由基清除法^[6] DPPH 标准曲线的绘制: 称取 DPPH, 用无水乙醇配制成 1 mmol/L 的 DPPH 母液, 继续用无水乙醇将母液稀释成 6.25、12.5、25、50、100、200、400 $\mu\text{mol/L}$, 分别取各浓度的 DPPH 溶液 100 μL 加入 96 孔板中, 用酶标仪于 517 nm 处测定吸光度 (A) 值。以 DPPH 溶液浓度为横坐标 (X), A 值为纵坐标 (Y) 绘制标准曲线。选取 A 值在 0.80±0.02 时所对应的 DPPH 溶液浓度为实验浓度。

分别称取 L-抗坏血酸和供试品 1~8, 加 0.1 mL DMSO 使其溶解, 并用无水乙醇分别配制成 1 mmol/L 的母液, 继续将母液稀释成 6.25、12.5、25、50、100、200 $\mu\text{mol/L}$ 的阳性对照和供试品的乙醇溶液。分别取阳性对照溶液和各供试品溶液 100 μL 于 96 孔板中, 各加入实验浓度的 DPPH 溶液 100 μL , 混合并室温下避光反应 30 min 后, 于 517 nm 测定 A 值, 另设空白组 (无水乙醇替代 DPPH 溶液) 和阴性对照组 (无水乙醇替代供试品溶液), 每次操作平行测定 3 次。并按公式计算 L-抗坏血酸和供试品 1~8 的 DPPH 清除率, 进一步计算 IC₅₀ 值。

$$\text{DPPH 清除率} = (A_{\text{阴性对照}} - A_{\text{供试品}} + A_{\text{空白}}) / A_{\text{阴性对照}}$$

2.2.2 ABTS 自由基清除法^[6-7] ABTS 标准曲线的绘制: 称取 ABTS 和过硫酸钾, 用蒸馏水配制浓度为 7 mmol/L 的 ABTS 溶液和 4.9 mmol/L 的过硫酸钾溶液, 2 种溶液各取 10 mL 混合后, 室温下避光反应 12 h, 即得 3.5 mmol/L 的 ABTS⁺自由基储备液。取储备液, 用蒸馏水稀释成 100、150、200、250、300、350 $\mu\text{mol/L}$ 浓度的标准溶液, 分别取各浓度的 ABTS⁺标准溶液 100 μL 于 96 孔板中, 加入 100 μL 蒸馏水混合后, 避光反应 6 min, 用酶标仪于 734 nm 处测定 A 值。以 ABTS⁺标准溶液的浓度为横坐标 (X), A 值为纵坐标 (Y) 绘制标准曲线。选取 A 值在 0.70±0.02 时所对应的 ABTS⁺标准溶液浓度为实验浓度。

分别称取 L-抗坏血酸和供试品 1~8, 加 0.1 mL DMSO 使其溶解, 并用蒸馏水分别配制成 1 mmol/L 的母液, 继续将母液稀释成 6.25、12.5、25、50、100、200 $\mu\text{mol/L}$ 的阳性对照和供试品的水溶液。分别取阳性对照溶液和各供试品溶液 100 μL 于 96 孔板中, 各加入实验浓度的 ABTS⁺标准溶液 100 μL , 混合并室温下避光反应 6 min, 于 734 nm 处测定 A 值, 另设空白组 (蒸馏水替代 ABTS⁺溶液) 和阴性对照组 (蒸馏水替代供试品溶液), 每次操作平行测定 3 次。并按公式计算 L-抗坏血酸和供试品 1~8 的 ABTS 清除率, 进一步计算 IC₅₀ 值。

$$\text{ABTS 清除率} = (A_{\text{阴性对照}} - A_{\text{供试品}} + A_{\text{空白}}) / A_{\text{阴性对照}}$$

2.3 α -葡萄糖苷酶抑制活性^[8-9]

分别称取阿卡波糖 (阳性对照) 和化合物 1~10 (供试品 1~10), 加 0.1 mL DMSO 使其溶解, 并用 pH 6.8 的磷酸缓冲液分别配制成 1 mmol/L 的母液, 继续用磷酸缓冲液将阳性对照和供试品母液稀释至 6.25、12.5、25、50、100、200 $\mu\text{mol/L}$ 的浓度。分别取阳性对照和供试品溶液 50 μL 于 96 孔板中, 加入 5 mmol/L 的 pNPG 溶液 50 μL 混合后, 37 °C 孵育 5 min; 加入 0.6 U/mL 的 α -葡萄糖苷酶溶液 50 μL , 37 °C 孵育 30 min 后, 加入 1 mol/L 的 Na₂CO₃ 溶液 50 μL 终止反应。于 405 nm 处测定 A 值。另设空白组 (磷酸缓冲液替代 α -葡萄糖苷酶溶液) 和阴性对照组 (磷酸缓冲液替代供试品溶液)。每次操作平行测定 3 次。并按公式计算阿卡波糖和供试品 1~10 的 α -葡萄糖苷酶抑制率, 进一步计算 IC₅₀ 值。

$$\alpha\text{-葡萄糖苷酶抑制率} = (A_{\text{阴性对照}} - A_{\text{供试品}} + A_{\text{空白}}) / A_{\text{阴性对照}}$$

3 结果

3.1 结构鉴定

化合物 **1**: 白色无定型粉末; $[\alpha]_D^{25} -16.3^\circ$ (*c* 0.202, MeOH); HR-ESI-MS 给出其准分子离子峰 m/z 441.173 8 [$M + Na^+$] (计算值 441.173 7, $C_{19}H_{30}NaO_{10}^+$), 确定其分子式为 $C_{19}H_{30}O_{10}$, 不饱和度 5。UV λ_{max}^{MeOH} (log ϵ): 229 (3.4); IR ν_{max}^{KBr} (cm^{-1}): 3 363 (-OH), 2 922, 2 859 (-CH₂-), 1 654, 1 511, 1 464 (芳环)。上述的 UV 和 IR 数据提示 **1** 中应含有羟基和苯环。¹H-NMR (400 MHz, CD₃OD) 数据 (表 1) 显示了 1 组 ABX 偶合系统的苯环质子信号 [δ_H 7.00 (1H, d, *J* = 8.2 Hz), 6.90 (1H, d, *J* = 1.9 Hz) 和 6.78 (1H, dd, *J* = 8.2, 1.9 Hz)], 提示 **1** 的结构含有 1 个 1,2,4-三取代苯环; 显示的 2 组脂肪亚甲基氢信号 [δ_H 1.91 (2H, m) 和 2.67 (2H, t, *J* = 7.5 Hz)] 和 1 组含氧取代亚甲基氢信号 [δ_H 3.57 (1H, dt, *J* = 9.8, 6.4

表 1 化合物 **1** 的 NMR 数据 (400/100 MHz, methanol-*d*₄)

Table 1 NMR spectral data of compound **1** (400/100 MHz, methanol-*d*₄)

碳位	δ_H	δ_C	DEPT
1	—	137.9	C
2	6.90 (d, <i>J</i> = 1.9 Hz)	114.0	CH
3	—	151.2	C
4	—	146.3	C
5	7.00 (d, <i>J</i> = 8.2 Hz)	118.2	CH
6	6.78 (dd, <i>J</i> = 8.2, 1.9 Hz)	122.1	CH
7	2.67 (t, <i>J</i> = 7.6 Hz)	32.4	CH ₂
8	1.91 (m)	32.5	CH ₂
9	3.57 (dt, <i>J</i> = 9.8, 6.4 Hz) 3.92 (m)	70.3	CH ₂
1'	3.77 (d, <i>J</i> = 5.0 Hz) ^a	61.7	CH ₂
2'	4.22 (q, <i>J</i> = 5.0 Hz)	82.4	CH
3'	3.76 (d, <i>J</i> = 5.0 Hz) ^a	61.7	CH ₂
-OCH ₃	3.85 (s)	56.6	CH ₃
Glc-1"	4.30 (d, <i>J</i> = 7.9 Hz)	104.1	CH
Glc-2"	3.23 (dd, <i>J</i> = 9.1, 7.9 Hz)	74.8	CH
Glc-3"	3.33 (overlapped)	77.6	CH
Glc-4"	3.35 (overlapped)	71.3	CH
Glc-5"	3.41 (m)	77.9	CH
Glc-6"	3.69 (dd, <i>J</i> = 12.0, 5.0 Hz) 3.88 (dd, <i>J</i> = 12.0, 2.0 Hz)	62.4	CH ₂

^a两者的归属可以互换

^aassignments are interchangeable

Hz), 3.92 (1H, m)], 提示 **1** 结构中应含有 1 个丙醇基结构片段。**1** 的 ¹H-NMR 谱中还显示了 1 组糖端基氢信号 [δ_H 4.30 (1H, d, *J* = 7.9 Hz) 和糖基其他氢信号 [δ_H 3.88 (1H, dd, *J* = 12.0, 2.0 Hz), 3.69 (1H, dd, *J* = 12.0, 5.0 Hz), 3.41 (1H, m), 3.35 (1H, overlapped), 3.33 (1H, overlapped) 和 3.23 (1H, dd, *J* = 9.1, 7.9 Hz)], 提示 **1** 的结构中还应含有 1 个单糖基。综合上述数据, 推测 **1** 应为苯丙素苷类化合物。在 **1** 的 ¹H-NMR 谱中, 还可观察到 2 组含氧取代亚甲基氢信号 [δ_H 3.77 (2H, d, *J* = 5.0 Hz), 3.76 (2H, d, *J* = 5.0 Hz)] 和 1 组含氧取代次甲基氢信号 [δ_H 4.22 (1H, q, *J* = 5.0 Hz)], 以及 1 组甲氧基氢信号 [δ_H 3.85 (3H, s)], 提示 **1** 的结构中应还含有 1 个甘油基和 1 个甲氧基。

¹³C-NMR (100 MHz, CD₃OD) 结合 DEPT 谱 (表 1) 共显示有 19 个碳信号, 其中 6 个芳碳、2 个脂肪亚甲基碳、3 个含氧亚甲基碳、1 个含氧次甲基碳、1 个甲氧基碳以及 6 个糖基碳信号。

在 **1** 的 HMBC 谱图中, 可以观察到如下的远程相关: δ_H 2.67 (2H, t, *J* = 7.5 Hz, H-7) 与 δ_C 137.9 (C-1)、114.0 (C-2)、122.1 (C-6)、32.5 (C-8) 和 70.3 (C-9), δ_H 1.91 (2H, m, H-8) 与 δ_C 32.4 (C-7)、70.3 (C-9) 和 137.9 (C-1), δ_H 3.85 (3H, s, OCH₃) 与 δ_C 151.2 (C-3) 以及 δ_H 4.22 (1H, m, H-2') 与 δ_C 146.3 (C-4), 证明 **1** 的丙醇基片段连在苯环 C-1 上, 甲氧基连在苯环 C-3 上, 甘油基片段 2'-OH 与苯环 C-4 相连(图 1)。**1** 的上述 NMR 数据与已报道的 (7*R*,8*R*) 4,7,9-trihydroxy-3,3'-dimethoxy-threo8-*O*- β -D-glucopyranoside (A)^[10] 和 ampelopsisrhamnoside (B)^[11] 的数据相近。**1** 与 A 比较, **1** 的 NMR 数据中缺少 1 个甲氧基和 1 个羟基取代苯环信号, 其余的数据基本一致。提示 **1** 可能是少 1 个甲氧基和 1 个羟基取代苯环的苯丙素葡萄糖苷。进一步比较两者数据, **1** 的 C-2' (δ_C 82.4) 与 C-3' (δ_C 61.7) 化学位移值均较 A 更高场 (δ_C 87.8 和 74.2), 证明 **1** 的结构中 C-3' 无甲氧基和羟基取代的苯环。将 **1** 与 B 比较, 除了 **1** 的糖基部分和昔元 C-9 位的 ¹H-、¹³C-NMR 数据与 B 明显不同外, 其他数据基本一致, 提示 **1** 应具有与 B 相同的昔元结构, 即为 4-*O*-(1,3-二羟基丙基-2)-二氢松柏醇, 但两者的单糖基不一样。

将 **1** 进行酸水解, 取水解液与葡萄糖对照品进行共薄层色谱分析 (展开剂: 三氯甲烷-甲醇-水 3 : 2 : 0.1; 显色剂: α -萘酚-浓硫酸), 结果显示 **1** 的水

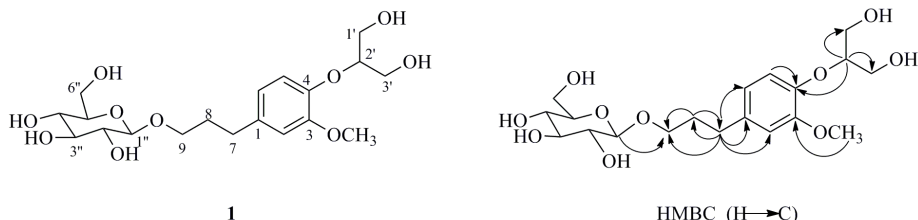


图 1 化合物 1 的结构和主要 HMBC 相关

Fig. 1 Structure and key HMBC correlations of compound 1

解液呈现与葡萄糖对照品的 R_f 值和颜色一致的斑点, 证明 **1** 结构中的单糖糖基为葡萄糖。根据上述分析和对比, 并结合生源, 确定 **1** 中的葡萄糖的绝对构型为 D-型。根据 **1** 的 ¹H-NMR 谱, 糖的端基氢信号 [δ_H 4.30 (1H, d, $J = 7.9$ Hz)] 的偶合常数为 7.9 Hz, 确定葡萄糖的端基碳的相对构型为 β 构型。

HMBC 谱中, δ_H 4.30 (1H, d, $J = 7.9$ Hz, Glc-H-1) 与 δ_C 70.3 (C-9) 存在远程相关, 进一步确证 β -D-葡萄糖应连接在苷元的 C-9。综上, **1** 的结构确定为 4-O-(1,3-二羟基丙基-2)-二氢松柏醇 9-O- β -D-葡萄糖苷。经检索, 化合物 **1** 为新化合物, 命名为侧柏苷 A (platycloside A)。到目前为止, 已发现有甘油取代基的苯丙素类化合物^[11-13]仅有 4 个, 侧柏苷 A 是第 5 个此类化合物。

化合物 2: 黄色粉末; ¹H-NMR (400 MHz, DMSO-*d*₆) δ : 12.68 (1H, s, 5-OH), 10.88 (1H, s, 7-OH), 9.27 (2H, s, 3', 5'-OH), 8.89 (1H, s, 4'-OH), 6.88 (2H, s, H-2', 6'), 6.37 (1H, d, $J = 2.0$ Hz, H-6), 6.20 (1H, d, $J = 2.0$ Hz, H-8), 5.19 (1H, brs, Rha-H-1), 3.98 (1H, m, Rha-H-5), 3.55 (1H, m, Rha-H-3), 3.17 (2H, m, Rha-H-2, 4), 0.84 (3H, d, $J = 6.2$ Hz, Rha-H-6); ¹³C-NMR (100 MHz, DMSO-*d*₆) δ : 177.8 (C-4), 164.2 (C-7), 161.3 (C-5), 157.5 (C-9), 156.4 (C-2), 145.8 (C-3', 5'), 136.5 (C-4'), 134.3 (C-3), 119.6 (C-1'), 107.9 (C-2', 6'), 104.1 (C-10), 101.9 (Rha-C-1), 98.7 (C-6), 93.5 (C-8), 71.3 (Rha-C-3), 70.6 (Rha-C-2), 70.4 (Rha-C-4), 70.0 (Rha-C-5), 17.6 (Rha-C-6)。以上 NMR 数据与文献报道的数据基本一致^[14-15], 故鉴定化合物 **2** 为杨梅苷。

化合物 3: 黄色粉末; ¹H-NMR (400 MHz, DMSO-*d*₆) δ : 12.38, 9.94, 9.47, 8.68 (各 1H, s, 5, 8, 3', 4'-OH), 7.49 (1H, d, $J = 1.9$ Hz, H-2'), 7.47 (1H, dd, $J = 8.3, 1.9$ Hz, H-6'), 6.91 (1H, d, $J = 8.3$ Hz, H-5'), 6.72 (1H, s, H-3), 6.56 (1H, s, H-6), 4.96 (1H, d, $J =$

7.5 Hz, Xyl-H-1), 3.80 (1H, m, Xyl-H-5a), 3.38 (1H, m, Xyl-H-4), 3.37 (1H, m, Xyl-H-5b), 3.36 (1H, m, Xyl-H-2), 3.31 (1H, m, Xyl-H-3); ¹³C-NMR (100 MHz, DMSO-*d*₆) δ : 182.7 (C-4), 164.7 (C-2), 152.7 (C-5), 151.4 (C-7), 150.3 (C-4'), 146.2 (C-3'), 144.9 (C-9), 127.5 (C-8), 122.1 (C-1'), 119.7 (C-6'), 116.5 (C-2'), 114.0 (C-5'), 105.7 (C-10), 103.1 (C-3), 102.1 (Xyl-C-1), 98.9 (C-6), 76.1 (Xyl-C-3), 73.5 (Xyl-C-2), 69.8 (Xyl-C-4), 66.2 (Xyl-C-5)。以上 NMR 数据与文献报道的数据基本一致^[16], 故鉴定化合物 **3** 为 5,8,3',4'-四羟基黄酮 7-O- β -D-木糖苷。

化合物 4: 白色无定形固体; $[\alpha]_D^{25} -142.5^\circ$ (*c* 0.208, MeOH); ¹H-NMR (400 MHz, CD₃OD) δ : 7.10 (1H, d, $J = 8.3$ Hz, H-5), 7.06 (1H, d, $J = 2.0$ Hz, H-2), 6.94 (1H, dd, $J = 8.3, 2.0$ Hz, H-6), 6.62 (1H, s, H-6'), 6.61 (1H, s, H-2'), 5.57 (1H, d, $J = 5.5$ Hz, H-7), 5.36 (1H, brs, Rha-H-1), 4.10 (1H, brs, Rha-H-2), 3.91 (1H, m, Rha-H-3), 3.87 (1H, m, Rha-H-5), 3.84 (1H, m, H-9a), 3.81 (3H, s, 3-OCH₃), 3.78 (1H, m, H-9b), 3.56 (2H, t, $J = 6.5$ Hz, H-9'), 3.47 (1H, m, H-8), 3.45 (1H, m, Rha-H-4), 2.55 (2H, m, H-7'), 1.79 (2H, m, H-8'), 1.22 (3H, d, $J = 6.2$ Hz, Rha-H-6); ¹³C-NMR (100 MHz, CD₃OD) δ : 151.7 (C-3), 146.2 (C-4), 146.1 (C-4'), 141.5 (C-5'), 139.0 (C-1), 137.0 (C-3'), 129.4 (C-1'), 119.4 (C-5), 119.1 (C-6), 117.0 (C-2'), 116.9 (C-6'), 111.1 (C-2), 101.1 (Rha-C-1), 88.1 (C-7), 73.6 (Rha-C-4), 72.0 (Rha-C-2), 71.8 (Rha-C-3), 70.7 (Rha-C-5), 65.0 (C-9), 62.2 (C-9'), 56.6 (3-OCH₃), 55.6 (C-8), 35.5 (C-8'), 32.5 (C-7'), 17.9 (Rha-C-6)。以上 NMR 数据与文献报道的数据基本一致^[17-18], 故鉴定化合物 **4** 为 isomassonianoside B。

化合物 5: 黄色无定形固体; $[\alpha]_D^{25} -38.45^\circ$ (*c* 0.366, MeOH); ¹H-NMR (400 MHz, CD₃OD) δ : 6.76 (1H, d, $J = 8.0$ Hz, H-5'), 6.70 (1H, d, $J = 2.0$ Hz, H-

2'), 6.66 (1H, s, H-2), 6.64 (1H, dd, $J = 8.0, 2.0$ Hz, H-6'), 6.18 (1H, s, H-5), 3.79, 3.81 (各 3H, s, 3, 3'-OCH₃), 3.80 (1H, m, H-9b), 3.78 (1H, m, H-9'b), 3.75 (1H, d, $J = 2.4$ Hz, H-7'), 3.72 (1H, m, H-9a), 3.66 (1H, m, H-9'a), 2.89 (1H, m, H-7a), 2.75 (1H, m, H-7b), 1.97 (2H, m, H-8, 8'), 4.05 (1H, d, $J = 7.8$ Hz, Glc-H-1); ¹³C-NMR (100 MHz, CD₃OD) δ : 148.9 (C-3'), 147.2 (C-3), 146.0 (C-4'), 145.3 (C-4), 138.7 (C-1'), 133.7 (C-6), 129.2 (C-1), 123.4 (C-6'), 117.4 (C-5), 116.1 (C-5'), 114.0 (C-2'), 112.4 (C-2), 103.8 (Glc-C-1), 78.2 (Glc-C-3), 77.8 (Glc-C-5), 75.0 (Glc-C-2), 71.3 (Glc-C-4), 70.6 (C-9'), 65.4 (C-9), 62.4 (Glc-C-6), 56.5, 56.4 (3, 3'-OCH₃), 48.5 (C-7'), 45.3 (C-8'), 41.1 (C-8), 33.6 (C-7)。以上 NMR 数据与文献报道的数据基本一致^[19], 故鉴定化合物 5 为 (-)-异落叶松脂素 9'-O-β-D-葡萄糖苷。

化合物 6: 黄色无定形固体; $[\alpha]_D^{25} -8.32^\circ$ (*c* 0.288, MeOH); ¹H-NMR (400 MHz, CD₃OD) δ : 7.11 (1H, d, $J = 8.3$ Hz, H-5), 6.97 (1H, d, $J = 1.9$ Hz, H-2), 6.94 (1H, dd, $J = 8.3, 1.9$ Hz, H-6), 6.86 (1H, d, $J = 2.0$ Hz, H-2'), 6.80 (1H, d, $J = 8.0$ Hz, H-5'), 6.78 (1H, dd, $J = 8.0, 2.0$ Hz, H-6'), 4.63 (1H, d, $J = 7.5$ Hz, H-7), 4.55 (1H, d, $J = 8.4$ Hz, H-7'), 4.25 (1H, dd, $J = 9.0, 4.2$ Hz, H-9b), 3.94 (1H, m, H-9'a), 3.89 (1H, m, H-9b), 3.84, 3.85 (各 3H, s, 3, 3'-OCH₃), 3.29 (1H, m, H-9a), 2.57 (1H, m, H-8'), 1.88 (1H, m, H-8), 4.91 (1H, d, $J = 7.5$ Hz, Glc-H-1); ¹³C-NMR (100 MHz, CD₃OD) δ : 150.3 (C-3), 148.9 (C-3'), 147.1 (C-4'), 146.8 (C-4), 139.2 (C-1), 134.5 (C-1'), 120.7 (C-6'), 120.1 (C-6), 117.1 (C-5), 116.0 (C-5'), 121.1 (C-2), 111.2 (C-2'), 102.5 (Glc-C-1), 84.8 (C-7), 77.9 (Glc-C-5), 77.4 (Glc-C-3), 76.1 (C-7'), 74.6 (Glc-C-2), 71.2 (C-9'), 71.1 (Glc-C-4), 62.2 (C-9), 62.0 (Glc-C-6), 56.7, 56.6 (3, 3'-OCH₃), 53.3 (C-8), 50.4 (C-8')。以上 NMR 数据与文献报道的数据基本一致^[20-21], 故鉴定化合物 6 为 (7*R*,8*S*,7'*S*,8'*R*)-4,9,4',7'-tetrahydroxy-3,3'-dimethoxy-7,9'-epoxylignan4-O-β-D-glucopyranoside。

化合物 7: 无色固体粉末; ¹H-NMR (400 MHz, DMSO-*d*₆) δ : 10.28 (1H, s, 12-OH), 7.65 (1H, s, H-14), 6.76 (1H, s, H-11), 3.13 (1H, sept, $J = 7.0$ Hz, H-15), 2.50 (2H, m, H-6), 2.15 (1H, d, $J = 12.7$ Hz, H-1a), 1.74 (2H, m, H-2a, 5), 1.61 (1H, m, H-2b), 1.42 (2H, m, H-3a, 1b), 1.25 (1H, m, H-3b), 1.16 (3H, d,

$J = 6.8$ Hz, H-16), 1.15 (3H, s, H-20), 1.13 (3H, d, $J = 7.0$ Hz, H-17), 0.94 (3H, s, H-19), 0.88 (3H, s, H-18); ¹³C-NMR (100 MHz, DMSO-*d*₆) δ : 196.5 (C-7), 160.1 (C-12), 155.8 (C-9), 132.5 (C-13), 125.0 (C-14), 122.5 (C-8), 109.3 (C-11), 49.1 (C-5), 40.8 (C-3), 37.5 (C-10), 37.4 (C-1), 35.5 (C-6), 32.9 (C-4), 32.3 (C-18), 26.0 (C-15), 23.0 (C-20), 22.4 (C-19), 22.2 (C-16), 21.1 (C-17), 18.5 (C-2)。以上 NMR 数据与文献报道的数据基本一致^[22], 故鉴定化合物 7 为柳杉酚。

化合物 8: 白色固体粉末; ¹H-NMR (400 MHz, CDCl₃) δ : 6.99 (1H, d, $J = 8.5$ Hz, H-11), 6.50 (1H, d, $J = 8.5$ Hz, H-12), 4.45 (1H, s, 13-OH), 3.29 (1H, m, H-15), 2.94 (1H, dd, $J = 17.1, 6.8$ Hz, H-7a), 2.75 (1H, ddd, $J = 17.1, 7.8, 6.8$ Hz, H-7b), 2.22 (1H, brd, $J = 12.7$ Hz, H-1a), 1.91 (1H, dd, $J = 13.3, 7.8$ Hz, H-6a), 1.56~1.74 (3H, m, H-6b, 2), 1.45 (1H, m, H-3a), 1.35 (3H, d, $J = 7.1$ Hz, H-16), 1.34 (3H, d, $J = 7.1$ Hz, H-17), 1.19~1.30 (3H, m, H-1b, 3b, 5), 1.17 (3H, s, H-18), 0.94 (3H, s, H-19), 0.91 (3H, s, H-20); ¹³C-NMR (100 MHz, CDCl₃) δ : 152.0 (C-13), 143.2 (C-9), 134.0 (C-8), 131.0 (C-14), 123.0 (C-11), 114.3 (C-12), 49.6 (C-5), 41.6 (C-3), 39.6 (C-1), 37.7 (C-10), 33.3 (C-4), 33.2 (C-18), 28.8 (C-7), 27.2 (C-15), 25.2 (C-20), 21.6 (C-19), 20.4 (C-16), 20.4 (C-17), 19.5 (C-2), 19.4 (C-6)。以上 NMR 数据与文献报道的数据基本一致^[23], 故鉴定化合物 8 为桃核酚。

化合物 9: 白色固体粉末; ¹H-NMR (400 MHz, CDCl₃) δ : 7.98 (1H, s, H-14), 6.85 (1H, s, H-11), 6.46 (1H, s, H-6), 3.90 (3H, s, -OCH₃), 3.28 (1H, sept, $J = 6.9$ Hz, H-15), 2.44 (1H, dd, $J = 12.6, 4.0$ Hz, H-1b), 1.76~1.61 (4H, m, H-2, 3), 1.52 (3H, s, H-20), 1.42 (1H, dd, $J = 13.3, 4.0$ Hz, 1-Ha), 1.35 (3H, s, H-19), 1.26 (3H, s, H-18), 1.25 (3H, d, $J = 6.9$ Hz, H-17), 1.22 (3H, d, $J = 6.9$ Hz, H-16); ¹³C-NMR (100 MHz, CDCl₃) δ : 185.2 (C-7), 172.7 (C-5), 160.8 (C-12), 153.8 (C-9), 136.0 (C-13), 124.6 (C-14), 124.1 (C-6), 123.6 (C-8), 105.6 (C-11), 55.4 (-OCH₃), 41.4 (C-10), 40.3 (C-3), 37.9 (C-1), 37.5 (C-4), 32.7 (C-19), 32.5 (C-18), 29.2 (C-20), 26.7 (C-15), 22.6 (C-17), 22.4 (C-16), 18.7 (C-2)。以上 NMR 数据与文献报道的数据基本一致^[24], 故鉴定化合物 9 为 5,6-dehydrosugiol

methyl ether。

化合物 10: 白色固体粉末; $^1\text{H-NMR}$ (400 MHz, CDCl_3) δ : 5.66 (1H, dd, $J = 17.5, 10.8$ Hz, H-15), 4.92 (1H, dd, $J = 10.8, 1.1$ Hz, H-16a), 4.82 (1H, dd, $J = 17.5, 1.1$ Hz, H-16b), 2.47 (1H, dd, $J = 17.7, 3.9$ Hz, H-6a), 2.34 (1H, overlapped, H-6b), 2.29 (1H, overlapped, H-14a), 2.19~2.15 (2H, m, H-11), 2.00 (1H, dq, $J = 17.5, 2.5$ Hz, H-14b), 1.07 (3H, s, H-20), 0.98 (3H, s, H-18), 0.90 (3H, s, H-17), 0.86 (3H, s, H-19); $^{13}\text{C-NMR}$ (100 MHz, CDCl_3) δ : 200.1 (C-7), 166.0 (C-9), 145.2 (C-15), 128.7 (C-8), 111.5 (C-16), 50.1 (C-5), 41.1 (C-3), 39.7 (C-10), 35.4 (C-1), 35.3 (C-6), 34.4 (C-13), 33.7 (C-12), 33.4 (C-14), 33.1 (C-4), 32.4 (C-18), 28.0 (C-17), 22.9 (C-11), 21.3 (C-19), 18.5 (C-2), 17.8 (C-20)。以上 NMR 数据与文献报道的数据基本一致^[25~26], 故鉴定化合物 10 为 isopimara-8,15-dien-7-one。

化合物 11: 白色固体粉末; $^1\text{H-NMR}$ (400 MHz, CD_3OD) δ : 4.68 (1H, d, $J = 1.5$ Hz, Rha-H-1), 3.77 (1H, m, Rha-H-2), 3.72 (1H, m, H-1a), 3.62 (1H, m, Rha-H-3), 3.57 (1H, m, Rha-H-5), 3.47 (1H, m, H-1b), 3.35 (1H, m, Rha-H-4), 1.26 (3H, d, $J = 6.2$ Hz, Rha-H-6), 1.21 (3H, t, $J = 7.0$ Hz, H-2); $^{13}\text{C-NMR}$ (100 MHz, CD_3OD) δ : 101.4 (Rha-C-1), 73.9 (Rha-C-4), 72.4 (Rha-C-3), 72.3 (Rha-C-2), 69.7 (Rha-C-5), 63.8 (C-1), 18.1 (Rha-C-6), 15.5 (C-2)。以上 NMR 数据与文献报道的数据基本一致^[27], 故鉴定化合物 11 为 α -L-鼠李糖乙醇苷。

3.2 抗氧化活性结果

3.2.1 DPPH 和 ABTS⁺溶液实验浓度的确定

(1) DPPH 溶液实验浓度的确定: DPPH 溶液的 A 值 (Y) 与浓度 (X) 的相关方程为 $Y = 0.0042 X + 0.0674$, $r^2 = 0.9998$, DPPH 溶液在 6.25~200 $\mu\text{mol/L}$ 浓度范围内线性关系良好。A 值在 0.80 ± 0.02 时所对应浓度为最适 DPPH 溶液浓度, 故确定 DPPH 溶液的实验浓度为 174.4 $\mu\text{mol/L}$ 。

(2) ABTS⁺溶液实验浓度的确定: ABTS⁺溶液的 A 值 (Y) 与浓度 (X) 之间的相关方程为 $Y = 0.0025 X + 0.0194$, $r^2 = 0.9997$, ABTS⁺溶液在 100~350 $\mu\text{mol/L}$ 浓度范围内线性关系良好。A 值在 0.70 ± 0.02 时所对应浓度为最适 ABTS⁺溶液浓度, 故确定 ABTS⁺溶液的实验浓度为 272 $\mu\text{mol/L}$ 。

3.2.2 抗氧化活性测定结果 阳性对照 L-抗坏血

酸和供试品 1~8 的 DPPH 和 ABTS 实验结果见表 2。

从表 2 中可以看出, 化合物 1 与二萜化合物(7、8)无 DPPH 和 ABTS 自由基清除活性; 3 的 DPPH 自由基清除活性强于 L-抗坏血酸, 2 和 5 的 DPPH 自由基清除活性与 L-抗坏血酸相当。2、3 和 6 的 ABTS 自由基清除活性强于 L-抗坏血酸; 5 的 ABTS 自由基清除活性与 L-抗坏血酸相当。

3.3 α -葡萄糖苷酶抑制活性测定结果

阳性对照阿卡波糖和供试品 1~10 的 α -葡萄糖苷酶抑制活性试验结果见表 3。

表 2 化合物 1~8 的抗氧化活性 ($\bar{x} \pm s, n = 3$)

Table 2 Antioxidant activity of compounds 1~8 ($\bar{x} \pm s, n = 3$)

化合物	$\text{IC}_{50}/(\mu\text{mol}\cdot\text{L}^{-1})$	
	DPPH	ABTS
1	NA	>200
2	29.98 ± 0.19	16.02 ± 0.21
3	21.50 ± 0.25	13.78 ± 0.21
4	66.19 ± 0.99	32.25 ± 0.23
5	29.13 ± 0.87	26.37 ± 0.26
6	64.38 ± 0.78	20.05 ± 0.23
7	>200	>200
8	>200	>200
L-抗坏血酸	30.56 ± 1.11	26.45 ± 0.83

NA-无活性

NA-no activity

表 3 化合物 1~10 的 α -葡萄糖苷酶的抑制活性 ($\bar{x} \pm s, n = 3$)

Table 3 Inhibition activity of compounds 1~10 on α -glucosidase ($\bar{x} \pm s, n = 3$)

化合物	$\text{IC}_{50}/(\mu\text{mol}\cdot\text{L}^{-1})$	化合物	$\text{IC}_{50}/(\mu\text{mol}\cdot\text{L}^{-1})$
1	>100	7	NA
2	97.35 ± 0.18	8	NA
3	56.27 ± 0.13	9	>100
4	NA	10	>100
5	NA	阿卡波糖	NM
6	NA		

NA-无活性 NM-未测得

NA-no activity; NM-not measured

从表 3 可以看出, 新化合物 1、木脂素苷类(4~6)和二萜类化合物(7~10)未表现出 α -葡萄糖苷酶的抑制活性, 仅黄酮苷类化合物(2、3)具有一定的 α -葡萄糖苷酶的抑制活性, 但均没有阳性对照阿卡波糖的活性强。

参考文献

- [1] Wang Y Z, Tang C P, Ke C Q, et al. Diterpenoids from the pericarp of *Platycladus orientalis* [J]. *Phytochemistry*, 2008, 69(2): 518-526.
- [2] 高 茜, 向能军, 沈宏林, 等. 侧柏叶的挥发性成分分析 [J]. 化学研究与应用, 2009, 21(2): 258-259.
- [3] 陈兴芬, 单承莺, 马世宏, 等. 侧柏叶化学成分、生理活性及防脱发功能研究进展 [J]. 中国野生植物资源, 2010, 29(3): 1-5.
- [4] 潘宏伟, 赵余庆. 侧柏叶和果实中黄酮类和萜类物质的现代药学研究进展 [J]. 中草药, 2012, 43(8): 1641-1646.
- [5] Shi J X, Li Y H, Wang X, et al. A new diterpenoid from the leaves of *Platycladus orientalis* [J]. *J Asian Nat Prods Res*, 2018, 20(11): 1075-1080.
- [6] 王天星. 代代花中有效成分的分离纯化、鉴定及其活性研究 [D]. 广州: 华南理工大学, 2018.
- [7] 张丽媛. 蕨类植物抱石莲的化学成分及抗氧化活性研究 [D]. 广州: 广州中医药大学, 2015.
- [8] 刘合生, 柳余莉, 陈秋平, 等. 杨梅黄酮类化合物对 α -葡萄糖苷酶活性的抑制作用 [J]. 核农学报, 2018, 32(1): 70-77.
- [9] 安家炜, 张有做, 高前欣, 等. 美国豆芋地上部位有效成分及 α -葡萄糖苷酶抑制活性研究 [J]. 核农学报, 2014, 12: 148-155.
- [10] Noriko M, Masao K. Neolignan glycosides from the leaves of *Lonicera gracilipes* var. *glandulosa* Maxim. [J]. *Chem Pharm Bull*, 1996, 44(9): 1676-1679.
- [11] Inada A, Nakamura Y, Konishi M, et al. A new ionone glucoside and a new phenylpropanoid rhamnoside from stems of *Ampelopsis brevipedunculata* (Maxim.) Trautv [J]. *Chem Pharm Bull*, 1991, 39(9): 2437-2439.
- [12] Matsuda N, Kikuchi M. Studies on the constituents of *Lonicera* species. XII. On the constituents of the leaves of *Lonicera gracilipes* var. *glandulosa* Maxim [J]. *Annual Rep Tohoku Coll Pharm*, 1996, 43: 75-78.
- [13] Kouno I, Yanagida Y, Shimono S, et al. Phenylpropanoids from the barks of *Illicium difengpi* [J]. *Chem Pharm Bull*, 1992, 40(9): 2461-2464.
- [14] 谢 宁, 张亭亭, 王定勇, 等. 矮杨梅茎的化学成分 [J]. 中国实验方剂学杂志, 2014, 20(19): 109-111.
- [15] Mok S Y, Lee S. Identification of flavonoids and flavonoid rhamnosides from *Rhododendron mucronulatum* for albiflorum and their inhibitory activities against aldose reductase [J]. *Food Chem*, 2013, 136(2): 969-974.
- [16] 赵 军, 闫 明, 黄 毅, 等. 新疆圆柏化学成分研究 [J]. 中国药学杂志, 2008, 43(19): 1461-1463.
- [17] He W J, Fu Z H, Han H J, et al. Benzoic acid allopyranosides and lignan glycosides from the twigs of *Keteleeria evelyniana* [J]. *Zeitschrift Naturforschung B*, 2011, 66(7): 733-739.
- [18] Zhang Z Z, Elsohly H N, Li X C. Phenolic compounds from *Nymphaea odorata* [J]. *J Nat Prods*, 2003, 60(4): 548-550.
- [19] Wang M F, Li J G, Meera R, et al. Antioxidative phenolic compounds from Sage (*Salvia officinalis*) [J]. *J Agric Food Chem*, 1998, 46: 4869-4873.
- [20] Mai N T, Cuc N T, Tua Anh H L, et al. Two new guaiane sesquiterpenes from *Datura metel* L. with anti-inflammatory activity [J]. *Phytochem Lett*, 2017, 19: 231-236.
- [21] Yang Y N, Huang X Y, Feng Z M, et al. Hepatoprotective activity of twelve novel 7'-hydroxy lignan glucosides from *Arctii Fructus* [J]. *J Agric Food Chem*, 2014, 62(37): 9095-9102.
- [22] Weng Y M, Yu X, Li J, et al. Abietane diterpenoids from *Lycopodium complanatum* [J]. *Fitoterapia*, 2018, 128: 135-141.
- [23] Ying B P, Kubo I. Complete ^1H and ^{13}C NMR assignments of totarol and its derivatives [J]. *Phytochemistry*, 1991, 30(6): 1951-1955.
- [24] Kuo Y H, Yu M T. Dehydroabietane diterpenes from *Juniperus formosana* Hay. var. *concolor* Hay. [J]. *Phytochemistry*, 1996, 42(3): 779-781.
- [25] Elsa M, Guajardo T, Elda G L, et al. Parryin, a diterpene with a tricyclic 6-7-5-ring system from *Salvia parryi* [J]. *Phytochemistry*, 1997, 45(2): 387-390.
- [26] Mauro S N, Fernando B D C, Reto B, et al. Ent-pimarane and ent-kaurane diterpenes from *Aldama discolor* (Asteraceae) and their antiprotozoal activity [J]. *Molecules*, 2016, 21(9): 1237-1250.
- [27] Qiu Y K, Zhao Y Y, Dou D Q, et al. Two new α -pyrones and other components from the cladodes of *Opuntia dillenii* [J]. *Arch Pharm Res*, 2007, 30(6): 665-669.